



Ośrodek Badań i Certyfikacji
SIMPTESTCERT Sp. z o.o.
Zakład Certyfikacji

40-045 KATOWICE ul. Astrów 10
tel: +48 32 2519595, +48 32 2510112, tel/fax: +48 32 2513918
e-mail: simptestcert@simptest.com.pl www.simptest.com.pl



AC 009

Krajowy Certyfikat Stałości Właściwości Użytkowych
Nr 009-UWB-052

Zgodnie z rozporządzeniem Ministra Infrastruktury i Budownictwa z dnia 17 listopada 2016 r. w sprawie sposobu deklarowania właściwości użytkowych wyrobów budowlanych oraz sposobu znakowania ich znakiem budowlanym (Dz. U. poz. 1966) niniejszy certyfikat odnosi się do wyrobu budowlanego:

Zgrzewane siatki stalowe ze stali gatunku B500A przeznaczone do zbrojenia betonu

(zasadnicze charakterystyki wyrobu podane zostały na rewersie niniejszego certyfikatu)

objętego Polską Normą wyrobu

PN-H-93247-2:2008

wprowadzonego do obrotu pod nazwą lub znakiem firmowym producenta:

SBN RUNOWO Sp. z o.o.

Runowo Krajeńskie 3A

89-410 WIĘCBORK

i produkowanego w zakładzie produkcyjnym:

SBN RUNOWO Sp. z o.o.

Runowo Krajeńskie 3A

89-410 WIĘCBORK

Niniejszy certyfikat potwierdza, że wszystkie postanowienia wynikające z krajowego systemu 1+ dotyczące oceny i weryfikacji stałości właściwości użytkowych w odniesieniu do deklarowanych właściwości użytkowych wyrobu związanych z jego zamierzonym zastosowaniem, określonych w niniejszym certyfikacie są stosowane, oraz że:

producent wdrożył system zakładowej kontroli produkcji w celu zapewnienia utrzymania stałości tych właściwości.


Niniejszy certyfikat został wydany na podstawie certyfikatu nr 009-UWB-09-2018 z dnia 25 maja 2018r. i pozostaje ważny, dopóki zastosowana Polska Norma wyrobu, metody oceny i weryfikacji stałości właściwości użytkowych, sam wyrób budowlany i warunki jego wytwarzania nie ulegną istotnej zmianie oraz pod warunkiem, że nie zostanie on zawieszony lub cofnięty przez akredytowaną jednostkę certyfikującą wyroby.

Dyrektor ds. Certyfikacji


mgr inż. Wojciech Szucio



Dyrektor


mgr inż. Jacek Pędras

Katowice, dnia 24 maja 2019 r.



Zasadnicze charakterystyki wyrobu budowlanego

Zasadnicze charakterystyki wyrobu budowlanego dla zamierzonego zastosowania lub zastosowań	Deklarowane właściwości użytkowe		
Skład chemiczny - analiza wytopowa. Maksymalna zawartość w ułamku masowym w % oraz równoważnik węgla $C_{eq\ max}$, % (...)* - analiza wyrobu	$C \leq 0,18$ (0,20)* $Cu \leq 0,60$ (0,65)* $P \leq 0,050$ (0,055)* $N \leq 0,012$ (0,013)* $S \leq 0,050$ (0,055)* $C_{eq} \leq 0,50$ (0,52)*		
Granica plastyczności R_e , MPa	≥ 500		
Stosunek R_m/R_e , % <i>Dla wyrobów o średnicy nominalnej mniejszej niż $\varnothing 6,0$ mm dopuszcza się $R_m/R_e \geq 1,03$ %</i>	$\geq 1,05$		
Wydłużenie całkowite przy maksymalnej sile A_{gt} , % <i>Dla wyrobów o średnicy nominalnej mniejszej niż $\varnothing 6,0$ mm dopuszcza się $A_{gt} \geq 2,0$ %</i>	$\geq 2,5$		
Wytrzymałość na zmęczenie, przy $\sigma_{max} = 300$ MPa i amplitudzie $2\sigma = 160$ MPa	$\geq 2 \cdot 10^6$ cykli		
Wymiary i tolerancje wymiarowe	<ul style="list-style-type: none"> - różnica długości przekątnych: 50 mm - długość L i szerokość B: ± 25 mm lub $\pm 0,5$ % – zależnie od tego, która wartość jest większa - rozstaw drutów: ± 15 mm lub $\pm 7,5$ % – zależnie od tego, która wartość jest większa 		
Odporność próbki po starzeniu na odginanie o kąt $\alpha=20^\circ$ w miejscu połączenia prętów, po zginaniu o kąt $\alpha=90^\circ$, na trzpieniu o średnicy $5 \cdot d_s$	Brak naderwań lub pęknięć widocznych dla osoby o normalnym lub skorygowanym wzroku		
Siła ścinania połączenia zgrzewanego F_s , kN	<table style="width: 100%; border: none;"> <tr> <td style="width: 50%; vertical-align: top;"> $\varnothing 5,0$ mm: $F_s \geq 2,45$ kN $\varnothing 5,5$ mm: $F_s \geq 2,98$ kN $\varnothing 6,0$ mm: $F_s \geq 3,54$ kN $\varnothing 6,5$ mm: $F_s \geq 4,15$ kN $\varnothing 7,0$ mm: $F_s \geq 4,81$ kN $\varnothing 7,5$ mm: $F_s \geq 5,53$ kN $\varnothing 8,0$ mm: $F_s \geq 6,29$ kN $\varnothing 8,5$ mm: $F_s \geq 7,09$ kN $\varnothing 9,0$ mm: $F_s \geq 7,95$ kN </td> <td style="width: 50%; vertical-align: top;"> $\varnothing 9,5$ mm: $F_s \geq 8,86$ kN $\varnothing 10,0$ mm: $F_s \geq 9,81$ kN $\varnothing 10,5$ mm: $F_s \geq 10,83$ kN $\varnothing 11,0$ mm: $F_s \geq 11,88$ kN $\varnothing 11,5$ mm: $F_s \geq 12,88$ kN $\varnothing 12,0$ mm: $F_s \geq 14,13$ kN </td> </tr> </table>	$\varnothing 5,0$ mm: $F_s \geq 2,45$ kN $\varnothing 5,5$ mm: $F_s \geq 2,98$ kN $\varnothing 6,0$ mm: $F_s \geq 3,54$ kN $\varnothing 6,5$ mm: $F_s \geq 4,15$ kN $\varnothing 7,0$ mm: $F_s \geq 4,81$ kN $\varnothing 7,5$ mm: $F_s \geq 5,53$ kN $\varnothing 8,0$ mm: $F_s \geq 6,29$ kN $\varnothing 8,5$ mm: $F_s \geq 7,09$ kN $\varnothing 9,0$ mm: $F_s \geq 7,95$ kN	$\varnothing 9,5$ mm: $F_s \geq 8,86$ kN $\varnothing 10,0$ mm: $F_s \geq 9,81$ kN $\varnothing 10,5$ mm: $F_s \geq 10,83$ kN $\varnothing 11,0$ mm: $F_s \geq 11,88$ kN $\varnothing 11,5$ mm: $F_s \geq 12,88$ kN $\varnothing 12,0$ mm: $F_s \geq 14,13$ kN
$\varnothing 5,0$ mm: $F_s \geq 2,45$ kN $\varnothing 5,5$ mm: $F_s \geq 2,98$ kN $\varnothing 6,0$ mm: $F_s \geq 3,54$ kN $\varnothing 6,5$ mm: $F_s \geq 4,15$ kN $\varnothing 7,0$ mm: $F_s \geq 4,81$ kN $\varnothing 7,5$ mm: $F_s \geq 5,53$ kN $\varnothing 8,0$ mm: $F_s \geq 6,29$ kN $\varnothing 8,5$ mm: $F_s \geq 7,09$ kN $\varnothing 9,0$ mm: $F_s \geq 7,95$ kN	$\varnothing 9,5$ mm: $F_s \geq 8,86$ kN $\varnothing 10,0$ mm: $F_s \geq 9,81$ kN $\varnothing 10,5$ mm: $F_s \geq 10,83$ kN $\varnothing 11,0$ mm: $F_s \geq 11,88$ kN $\varnothing 11,5$ mm: $F_s \geq 12,88$ kN $\varnothing 12,0$ mm: $F_s \geq 14,13$ kN		
Względne pole powierzchni żeber f_R	od $\varnothing 5,0$ mm do $\varnothing 6,0$ mm - 0,039 od $\varnothing 6,5$ mm do $\varnothing 9,0$ mm - 0,045 od $\varnothing 9,5$ mm do $\varnothing 11,0$ mm - 0,052 od $\varnothing 11,5$ mm do $\varnothing 12,0$ mm - 0,056		

Katowice, 24 maja 2019r.

